

УДК 621.721.052:539.4.014

**Прохоренко В.М., Прохоренко О.В.**

Національний технічний університет України "Київський політехнічний інститут". Україна, Київ

**АДАПТАЦІЯ МЕТОДУ СКЛАДНИХ ПЕРЕРІЗІВ ДЛЯ РОЗРАХУНКУ ДЕФОРМАЦІЙ ПРИ ЗВАРЮВАННІ СИМЕТРИЧНИХ ТАВРОВИХ СТЕРЖНІВ РУХОМИМ ЛІНІЙНИМ ДЖЕРЕЛОМ НАГРІВАННЯ****Анотація**

У статті показана послідовність складання розрахункового алгоритму для визначення напружено-деформованого стану методом складних (неплоских) перерізів при зварюванні симетричних таврових стержнів рухомих лінійним джерелом нагрівання.

**Abstract**

In this paper the sequence of calculated algorithm formulation for determination of stress-deformation state by the methods of complex (non-planar) section during symmetric tee bar welding using moving linear source heating is present.

Принципові основи методу складних (неплоских) перерізів для розрахунку напружено-деформованого стану (НДС) при зварюванні поздовжніх швів одномірних конструкцій викладені в роботах авторів [1, 2].

Одномірна зварна конструкція у вигляді стержня з типовим симетричним перерізом досить часто використовується у судно- та мостобудуванні, будівництві тощо. Основними елементами конструкції є пояс і ребро, з'єднані між собою стиковим або кутовими швами. Розглянемо спрощений випадок, коли товщина пояса і ребра є однаковою. Реальний поперечний переріз схематично показано середніми лініями контуру на рис. 1. Ширина пояса  $2B$ , ребра —  $H$ . Початок рухомої системи координат збігається з джерелом нагрівання і знаходиться на лінії перетину пояса і ребра. Шов зварюється знизу вверху. Погонна енергія зварювання  $q_m$ , механічні і теплофізичні характеристики металу відомі. Відстані  $s_1$  і  $s_2$  від

осі шва до точки з температурою відповідно  $600^\circ\text{C}$  і  $500^\circ\text{C}$  визначаються окремо і вважаються відомими. Криві  $\Gamma_m$ , які є проекцією на площину пояса або ребра кривої максимальних температур, показані для пояса і ребра відповідними пунктирними лініями, а криві  $\Gamma_b$  початку пластичних деформацій скорочення — штриховими. Ширина зони пластичних деформацій скорочення в одну сторону від осі шва визначається довжиною відрізків для пояса —  $bnB$ , для ребра —  $bnH$  і в загальному випадку вони розташовані в різних поперечних перерізах. Складний розрахунковий переріз стержня показаний на рис. 1 суцільними жирними лініями: для пояса  $abcdefg$ , для ребра —  $ehqptk$ . Горизонтальні ділянки  $ab$  і  $uv$  перерізу знаходяться в поперечному перерізі, де розміщуються два відрізки  $bnB$ , горизонтальна ділянка  $tk$  знаходиться в іншому поперечному перерізі ребра, де знаходиться відрізок  $bnH$ . Криволінійні ділянки  $bcd$ ,  $fgu$ ,  $hqp$  збігаються з кривими  $\Gamma_m$ , горизонтальні ділянки  $def$  та  $eh$  знаходяться в зоні знеміцнення металу, де температура  $T \geq 600^\circ\text{C}$ . Пружна деформація на ділянках  $ab$ ,  $uv$ ,  $tk$  визначається різницею між повною та температурною деформаціями; на криволінійних ділянках вона дорівнює —  $\epsilon_T$ , в зоні знеміцнення — дорівнює нулю.

Як показано в роботі [2], першочерговим завданням розробки алгоритму розрахунку напружено-деформованого стану (НДС) при нагріванні за схемою рухомого лінійного джерела є виведення інтерполяційних залежностей  $fit\Gamma_m B(y)$ ,  $fit\Gamma_m H(x)$  та  $fitTm B(y)$ ,  $fitTm H(x)$  для кривих  $\Gamma_m B(y)$ ,  $\Gamma_m H(x)$  та  $Tm B(y)$ ,  $Tm H(x)$  відповідно для пояса та ребра. Розглянемо це питання схематично у скороченому вигляді без детальних пояснень

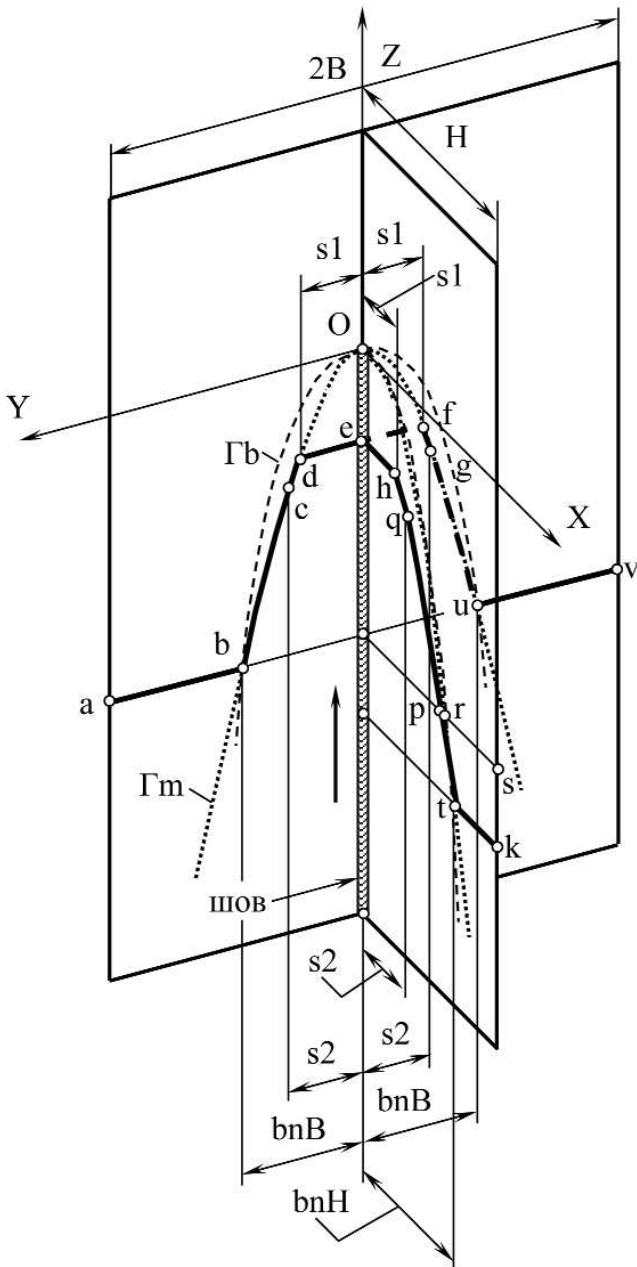


Рис. 1. Схема взаємного розташування основних термомеханічних параметрів при зварюванні стержня симетричного таврового перерізу

окремих моментів але з викладенням всіх математичних залежностей у загальному вигляді, які необхідні для конкретної алгебраїзації програми розрахунку у документі обчислювального середовища MathCAD.

Виведення інтерполяційних залежностей  $fit\Gamma mB(y)$  і  $fit\Gamma mH(x)$  для кривих  $\Gamma mB(y)$  і  $\Gamma mH(x)$  відповідно для пояса і ребра. Виклад алгоритму розрахунку НДС доцільно розглядати за окремими пунктами.

1. Визначення масиву точок для кожного з елементів (пояса або ребра) стержня в околі джерела нагрівання для розрахунку в них температур:

- а) пояс  $i = 0 \dots \psi, z_i = -\chi + \Delta z \cdot i, j = 0 \dots \varphi, y_j = v + \Delta y \cdot j,$
- б) ребро  $i = 0 \dots \psi, z_i = -\chi + \Delta z \cdot i, l = 0 \dots \zeta, x_l = \mu + \Delta x \cdot l.$

Координати початкових границь масиву точок –  $\mu, v.$

2. Розрахунок температур для заданого масиву точок:

а) пояс

$$TB_{i,j} = \Psi \cdot \left[ \begin{array}{l} \exp\left(-\frac{vz_i}{2a}\right) \cdot K0\left(\Omega \cdot \sqrt{z_i^2 + y_j^2}\right) + \\ \exp\left(-\frac{vz_i}{2a}\right) \cdot K0\left(\Omega \cdot \sqrt{z_i^2 + (2B - y_j)^2}\right) \end{array} \right],$$

б) ребро

$$TH_{i,l} = \Psi \cdot \left[ \begin{array}{l} \exp\left(-\frac{vz_i}{2a}\right) \cdot K0\left(\Omega \cdot \sqrt{z_i^2 + x_l^2}\right) + \\ \exp\left(-\frac{vz_i}{2a}\right) \cdot K0\left(\Omega \cdot \sqrt{z_i^2 + (2H - x_l)^2}\right) \end{array} \right],$$

$$\Psi = \frac{q_n v}{\pi \lambda \delta_0}, \Omega = \frac{\sqrt{v^2 + \omega}}{2a}, \omega = 4ab, \delta_0 = 3\delta.$$

3. Визначення максимальних температур по ширині елемента (пояса або ребра):

а) пояс –  $TmB_j = \max(TB^{(j)})$

б) ребро –  $TmH_l = \max(TH^{(l)})$

4. Виділення із матриць  $TB$  та  $TH$  матриць  $T1B$  і  $T1H$ , майже всі елементи яких є нульовими за виключенням тих, що мають максимальну температуру:

а) пояс

$$T1B_{i,j} := \begin{cases} \Psi \cdot \left\{ \exp\left(-\frac{vz_i}{2a}\right) \cdot [K0(uB_{i,j}) + K0(cB_{i,j})] \right\} \rightarrow \\ \rightarrow \text{if } \Psi \cdot \left\{ \exp\left(-\frac{vz_i}{2a}\right) \cdot [K0(uB_{i,j}) + K0(cB_{i,j})] \right\} = Tm_j, \\ 0 \text{ otherwise} \end{cases}$$

$$uB_{i,j} = \Omega \cdot \sqrt{z_i^2 + y_j^2}, cB_{i,j} = \Omega \cdot \sqrt{z_i^2 + (2B - y_j)^2}.$$

б) ребро

$$T1H_{i,l} := \begin{cases} \Psi \cdot \left\{ \exp\left(-\frac{vz_i}{2a}\right) \cdot [K0(uH_{i,l}) + K0(cH_{i,l})] \right\} \rightarrow \\ \rightarrow \text{if } \Psi \cdot \left\{ \exp\left(-\frac{vz_i}{2a}\right) \cdot [K0(uH_{i,l}) + K0(cH_{i,l})] \right\} = Tm_l, \\ 0 \text{ otherwise} \end{cases}$$

$$uH_{i,l} = \Omega \cdot \sqrt{z_i^2 + x_l^2}, cH_{i,l} = \Omega \cdot \sqrt{z_i^2 + (2H - x_l)^2}.$$



5. Створення елементів  $H_i$  вектора-стовпчика  $H$  із значень поточного індексу  $i$ :  $H_i = i$ .

6. Об'єднання векторів-стовпчиків  $H$  і  $T1B^{(j)}$  та  $H$  і  $T1H^{(l)}$  у матриці: а) пояс —  $augment(H, T1B^{(j)})$ , б) ребро —  $augment(H, T1H^{(l)})$

7. Сортування об'єднаних матриць за елементами першого стовпчика у порядку їхнього зростання зверху вниз:

а) пояс —  $csort(augment(H, T1B^{(j)}), 1)$

б) ребро —  $csort(augment(H, T1H^{(l)}), 1)$

8. Знаходження значення останнього елемента нульового стовпчика сортованих матриць за значенням  $last(H)$  останнього елемента вектора-стовпчика  $H$ :

а) пояс —  $SB_j := \left( csort(augment(H, T1B^{(j)}), 1) \right)_{last(H)}^{(0)}$ ,

б) ребро —

$SH_{1l} := \left( csort(augment(H, T1H^{(l)}), 1) \right)_{last(H)}^{(0)}$ .

Значення  $SB_j$  та  $SH_{1l}$  дорівнюють значенню поточного індексу  $i$  (по-іншому, координати  $z_s$ ) відповідно для кожного індексу  $j$  та  $l$  (по-іншому, координат  $y_j$  та  $x_l$ ), на перетині яких маємо деяке значення  $TmB$  та  $TmH$ . Елементи  $\Gamma mB_j := z_{(SB_j)}$  та  $\Gamma mH_l := z_{(SH_{1l})}$  векторів-стовпчиків  $\Gamma mB$  та  $\Gamma mH$  визначають значимі (при яких  $TmB \neq 0$  та  $TmH \neq 0$ ) координати  $z$  по ширині полиці та ребра.

9. Створення із векторів-стовпчиків  $y$  та  $\Gamma mB$ , а також  $x$  та  $\Gamma mH$  об'єднаних матриць  $MB$  та  $MH$  відповідних значень координат  $z$  та  $y$ , а також  $z$  та  $x$  точок відповідно на кривих  $\Gamma mB$  та  $\Gamma mH$ :

а) пояс —  $MB := augment(y, \Gamma mB)$ ,

б) ребро —  $MB1 := augment(x, \Gamma mH)$ .

9. Інтерполяція кривих  $\Gamma mB$  та  $\Gamma mB$ :  $KB = cspline(MB^{(0)}, MB^{(1)})$

а) пояс

$KB = cspline(MB^{(0)}, MB^{(1)}) y = MB^{(0)}$ ,  $fit\Gamma mB(y) =$

$= \text{interp}(KB, MB^{(0)}, MB^{(1)}, y)$ ,

б) ребро

$KH = cspline(MH^{(0)}, MH^{(1)}) x = MH^{(0)}$ ,  $fit\Gamma mH(x) =$

$= \text{interp}(KH, MH^{(0)}, MH^{(1)}, x)$ .

Виведення інтерполяційних залежностей  $fit\Gamma mB(y)$ ,  $fit\Gamma mH(x)$  для кривих  $\Gamma mb(y)$ ,  $\Gamma mH(x)$ .  
 $fit\Gamma mH(x) = \text{interp}(KH, MH^{(0)}, MH^{(1)}, x)$ .

10. Створення із векторів-стовпчиків  $y$  та  $\Gamma mB$ , а також  $x$  та  $\Gamma mH$  шляхом їх об'єднання матриць  $WB$  та  $WH$ , перший стовпчик яких містить координати точок по ширині пояса та ребра, а другий — відповідні їм значення максимальних температур у точках полиці та ребра:

а) пояс —  $WB := augment(y, \Gamma mB)$ , б) ребро —  $WH := augment(x, \Gamma mH)$ .

11. Інтерполяція кривих  $\Gamma mB$  і  $\Gamma mH$ :

а) пояс

$KB = cspline(WB^{(0)}, WB^{(1)}) y = WB^{(0)}$ ,  $fit\Gamma mB(y) =$

$= \text{interp}(KB, WB^{(0)}, WB^{(1)}, y)$ ,

б) ребро

$KH = cspline(WH^{(0)}, WH^{(1)}) x = WH^{(0)}$ ,  $fit\Gamma mH(x) =$

$= \text{interp}(KH, WH^{(0)}, WH^{(1)}, x)$ .

12. Визначення максимальної ширини  $bnB$  зони пластичних деформацій скорочення у поясі тавра. Загальний вигляд системи рівнянь для складного ламано-криволінійного перерізу, в горизонтальній частині якого для пояса перетинаються криві  $\Gamma mb(y)$  та  $\Gamma bB(y)$ :

$$\begin{cases} 2 \int_0^B \epsilon eh(y) dy + \int_0^H \epsilon eh(x) dx = 0, \\ \int_0^H \epsilon eh(x) x dx = 0, \\ \epsilon eh(x = snH) + \epsilon_s = 0, \\ \epsilon eh(y = bnB) + \epsilon_s = 0. \end{cases}, \quad (1)$$

де  $snH$  — ширина зони пластичних деформацій у ребрі в поперечному перерізі, в якому визначається  $bnB$ ;  $\epsilon eh(y)$ ,  $\epsilon eh(x)$  — пружні деформації на стадії нагрівання відповідно у поясі та ребрі;  $\epsilon_s$  — пружна деформація, яка відповідає межі текучості металу.

Розв'язком системи (1) є значення невідомих  $bnB$ ,  $snH$ ,  $gB$ ,  $dB$ , з яких відбираємо лише один параметр  $bnB$ . Параметри  $gB$ ,  $dB$  визначають повну деформацію  $\epsilon fh(x) = gB \cdot x + dB$  у ребрі тавра в поперечному перерізі, в якому визначається  $bnB$ .

13. Визначення максимальної ширини  $bnH$  зони пластичних деформацій у ребрі тавра. Загальний вигляд системи рівнянь для складного ламано-криволінійного перерізу, в горизонтальній частині якого для ребра перетинаються криві  $\Gamma mH(x)$  та  $\Gamma bH(x)$ :

$$\begin{cases} 2 \int_0^B \epsilon eh(y) dy + \int_0^H \epsilon eh(x) dx = 0, \\ \epsilon eh(x = bnH) + \epsilon_s = 0, \\ \int_0^H \epsilon eh(x) x dx = 0. \end{cases}, \quad (2)$$

Розв'язком системи (2) є значення невідомих  $bnH$ ,  $gH$ ,  $dH$ , з яких відбираємо лише один параметр  $bnH$ . Параметри  $gH$ ,  $dH$  визначають повну деформацію  $\epsilon fh(x) = gH \cdot x + dH$  у ребрі тавра в поперечному перерізі, в якому визначається  $bnH$ .

14. Визначення поточних координат  $y_j$  та  $x_l$  розрахункових точок на кривих  $\Gamma mB(y)$  та  $\Gamma mH(x)$ . Проекції цих точок відповідно на відрізки  $bnB$  —  $s2$

та  $bnH - s2$  рівномірно поділяють  $(bnB - s2)$  та  $(bnH - s2)$  на малі інтервали. У розрахункових точках на кривих  $\Gamma mB(y)$  та  $\Gamma mH(x)$  в подальшому буде визначатись максимальна пластична деформація скорочення. З цією метою знайдемо максимальні значення  $\xi$  та  $\zeta$  поточного параметра  $j$  для прийнятого закону зміни координат  $y_j$  на кривій  $\Gamma mB(y)$  та  $x_j$  на кривій  $\Gamma mH(x)$ . Необхідні залежності мають вигляд:  $\xi = \text{ceil}[(bnB - s2)\Delta s^{-1}]$ ,  $\zeta = \text{ceil}[(bnH - s2)\Delta s^{-1}]$ ,  $\Delta s = 0,1 \text{ см}$ ,  $y_j = 0.1 + \Delta s \cdot j$ ,  $x_j = 0.1 + \Delta s \cdot j$ ,  $j = 0 \dots \xi$  — для пояса,  $j = 0 \dots \zeta$  — для ребра.

В багатьох випадках з тих чи інших міркувань заздалегідь відомо який з відрізків  $bnB$  чи  $bnH$  є меншим. Здебільшого  $bnB < bnH$ . Тоді буде  $\xi < \zeta$ . Це означає, що для  $j = 0 \dots \xi$  координати  $y_j = 0.1 + \Delta s \cdot j$  і  $x_j = 0.1 + \Delta s \cdot j$  будуть однаковими і вони визначають однакову координату  $zB_j = \text{fit}\Gamma mB(y_j)$  або  $zH_j = \text{fit}\Gamma mH(x_j)$  по осі  $Z$  для поточного поперечного перерізу, в якому розташовані відрізки  $snB_j$  та  $snH_j$  (аналогі відрізків  $bnB$  та  $bnH$ ).

При  $j > \xi$  горизонтальні ділянки складних перерізів розміщуються в різних поперечних перерізах. Для полиці така ділянка надалі залишається в поперечному перерізі  $j = \xi$ , а для ребра в перерізах  $j > \xi$ . Таким чином, для розрахунку параметрів  $snB_j$ ,  $snH_j$ ,  $g_j$ ,  $d_j$  необхідно розглядати два інтервали зміни поточного індексу  $j$ , а саме  $j = 0 \dots \xi$  і  $j = \xi + 1 \dots \zeta$ . Отже, необхідно складати і знаходити розв'язки двох систем рівнянь для кожного із згаданих вище інтервалів зміни поточного індексу  $j$ .

15. Визначення параметрів  $snB_j$ ,  $snH_j$ ,  $g_1$ ,  $d_j$  для інтервалу  $j = 0 \dots \xi$ . Перша система рівнянь у загальному вигляді для інтервалу  $j = 0 \dots \xi$ :

$$\begin{cases} 2 \int_0^B \epsilon h(\text{fit}\Gamma mB(y_j), y) dy + \int_0^H \epsilon h(\text{fit}\Gamma mH(x_j), x) dx = 0, \\ \int_0^H \epsilon h(\text{fit}\Gamma mH(x_j), x) x dx = 0, \\ \epsilon h[\text{fit}\Gamma mH(snH), snH] + \epsilon_s = 0, \\ \epsilon h[\text{fit}\Gamma mB(snB), snB] + \epsilon_s = 0. \end{cases} \quad (3)$$

Розв'язком системи (3) є значення невідомих  $snB_j$ ,  $snH_j$ ,  $g_1$ ,  $d_j$ , де  $g_1$ ,  $d_j$  — параметри повної деформації поперечного перерізу тавра відповідно до гіпотези плоских перерізів.

16. Визначення параметрів  $snH_j$ ,  $g_2$ ,  $d_j$  для інтервалу  $j = (\xi + 1) \dots \zeta$ . Друга система рівнянь у загальному вигляді для інтервалу  $j = (\xi + 1) \dots \zeta$ :

$$\begin{cases} 2 \int_0^B \epsilon h(\text{fit}\Gamma mB(bnB), y) dy + \int_0^H \epsilon h(\text{fit}\Gamma mH(x_j), x) dx = 0, \\ \epsilon h[\text{fit}\Gamma mH(snH), snH] + \epsilon_s = 0, \\ \int_0^H \epsilon h(\text{fit}\Gamma mH(x_j), x) x dx = 0, \end{cases} \quad (4)$$

Розв'язком системи (4) є значення невідомих  $snH_j$ ,  $g_2$ ,  $d_j$  де  $g_2$ ,  $d_j$  — параметри повної деформації поперечного перерізу тавра відповідно до гіпотези плоских перерізів.

17. За допомогою матричної функції *stack* оболонки MathCAD вектори-стовпчики  $g_1$  і  $g_2$  об'єднуємо їх в один вектор-стовпчик  $g = \text{stack}(g_1, g_2)$ .

18. Створюємо вектори-стовпчики повної деформації  $\epsilon fhB$  на кривій  $\Gamma mB(y)$  (пояс) і  $\epsilon fhH$  на кривій  $\Gamma mH(x)$  (ребро):  $\epsilon fhB = d$ ,  $\epsilon fhH = g \cdot x + d$ .

19. Створюємо вектори-стовпчики максимальних температур  $TmB$  на кривій  $\Gamma mB(y)$  (поясі) і  $TmH$  на кривій  $\Gamma mH(x)$  (ребро):  $TmB = \text{fit}TmB(y)$ ,  $TmH = \text{fit}TmH(x)$ .

20. Створюємо вектори-стовпчики максимальних пластичних деформацій скорочення  $\epsilon phB$  на кривій  $\Gamma mB(y)$  (полиця) і  $\epsilon phH$  на кривій  $\Gamma mH(x)$  (ребро):  $\epsilon phB = \epsilon fhB - \alpha \cdot TmB + \epsilon_s$ ,  $\epsilon phH = \epsilon fhH - \alpha \cdot TmH + \epsilon_s$ .

21. Знаходимо інтерполяційні залежності  $\text{fit}\epsilon phB(y)$  і  $\text{fit}\epsilon phH(x)$  для кривих відповідно  $\epsilon phB$  і  $\epsilon phH$ :

а) пояс  
 $WB := \text{augment}(y, \epsilon phB)$ ,  $KB := \text{cspline}(WB^{(0)}, WB^{(1)})$ ,  
 $y = WB^{(0)}$ ,  $\text{fit}\epsilon phB(y) := \text{interp}(KB, WB^{(0)}, WB^{(1)}, y)$ ;  
 б) ребро  
 $WH := \text{augment}(x, \text{fit}\epsilon phH)$ ,  $KH := \text{cspline}(WH^{(0)}, WH^{(1)})$ ,  
 $x = WH^{(0)}$ ,  $\text{fit}\epsilon phH(x) := \text{interp}(KH, WH^{(0)}, WH^{(1)}, x)$ ;

22. Розв'язуємо задачу для залишкового стану. Система рівнянь у загальному вигляді для довільного поперечного перерізу стержня у залишковому стані:

$$\begin{cases} 2 \int_0^B \epsilon frB(y) dy + \int_0^H \epsilon frH(x) dx = 0, \\ \int_0^H \epsilon frH(x) x dx = 0, \\ \epsilon frB(y=sB) - \epsilon_s = 0, \\ \epsilon frH(x=sH) - \epsilon_s = 0. \end{cases} \quad (5)$$

Розв'язками системи (5) є значення параметрів  $e$  і  $f$  повної деформації  $\epsilon fr(x) = e \cdot x + f$  та відрізків  $sB$  і  $sH$ , які визначають ширину зони пластичних деформацій видовження на стадії охолодження у поясі та ребрі відповідно.

23. Записуємо кінцеві залежності та будуємо відповідні графіки для повної  $\epsilon frB$ , пружної  $\epsilon erB(y)$



*і пластичної  $\epsilon_{prB}(y)$  деформацій в залишковому стані для пояса і аналогічно для ребра —  $\epsilon_{prH1}(x)$ ,  $\epsilon_{erH1}(x)$ ,  $\epsilon_{prH1}(x)$ .*

#### Литература

1. Прохоренко В.М., Карпенко А.С., Прохоренко Д.В. Расчет функции усадки при сварке одномерных конструкций. Сообщение 1. Нагрев мощным быстро-

движущимся линейным источником // Технологические системы. — 2005. — № 4. — С. 49–55.

2. Прохоренко В.М., Карпенко А.С., Прохоренко Д.В. Расчет функции усадки при сварке одномерных конструкций. Сообщение 2. Нагрев подвижным линейным источником // Технологические системы. — 2005. — № 5–6. — С. 46–49.

3. Рыкалин Н.Н. Расчеты тепловых процессов при сварке. — М.: Машгиз, 1951. — 296 с.